

ELECTROSTÁTICA EN EL VACÍO

Definición: la fuerza electromagnética es la interacción entre cargas eléctricas (la carga es, como la masa, una propiedad de la partícula; pudiendo ser la carga positiva o negativa)

Resultados experimentales:

• Conservación de la carga: en un sistema aislado la suma de las cargas permanece cte. → demostrable

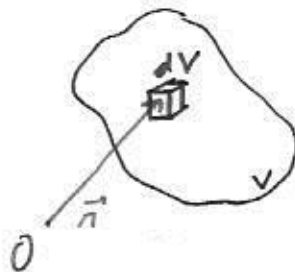
• Cuantización: se observa experimentalmente que la carga eléctrica está cuantizada ($e = 1.6 \cdot 10^{-19} \text{ C}$) → No demostrable (experimental)

• La carga eléctrica es invariante respecto del S.R. → demostración compleja y avanzada

• Definiremos una carga puntual como un cuerpo cargado cuyos dimensiones son muchas más pequeñas que las manejadas en el problema \Rightarrow Esto nos eliminará las singularidades

- Como trabajamos con muchos portadores elementales (del orden de 10^{20} a volúmenes pequeños), podemos suponer que la carga está distribuida de forma continua, y definiremos la densidad de carga:

$$\rho(\vec{r}) \equiv \frac{dq}{dV}$$

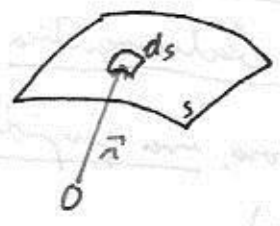


siendo dq la carga total que hay en el elemento de volumen dV (situado alrededor de \vec{r})

\Downarrow
A cada punto se le asocia un campo escalar, que nos dice cuánta carga por vol. de volumen hay en ese punto.

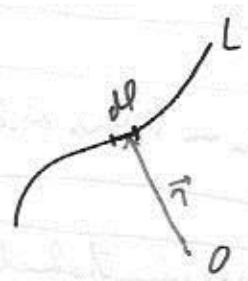
Analogamente, si la carga está distribuida en una superficie:

$$\sigma(\vec{r}) \equiv \frac{dq}{ds}$$



Y si está distribuida en una curva:

$$\lambda(\vec{r}) \equiv \frac{dq}{dl}$$



$$\frac{r_b}{v_b} \equiv \tau$$



(si es un círculo) v_b es el radio de la esfera v_b es el radio de la esfera v_b es el radio de la esfera

... v_b es el radio de la esfera v_b es el radio de la esfera v_b es el radio de la esfera

ESTUDIO DE INTERACCIONES

(Iníicio en Moodle)

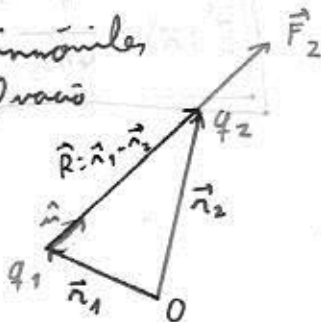
- Sean un sjs. de cargas puntuales
- Situamos una nueva carga para observar el efecto de las otras cargas sobre ella
- Aparecerán dos interacciones sobre nuestra carga de prueba:
 - \vec{F}_E , que no depende de la velocidad de la carga (se dice debido a un campo eléctrico)
 - \vec{F}_M , que depende de la velocidad de la carga (se dice debido a un campo magnético)

Definimos así el campo eléctrico \vec{E} para estudiar las propiedades del sjs. de cargas independientemente de la carga de prueba:

$$\vec{E}(\vec{r}) \equiv \lim_{q' \rightarrow 0} \frac{\vec{F}_E}{q'} \quad [\vec{E}] = \frac{N}{C}$$

lo que queremos que la carga q' que afecta al sistema sea tan pequeña que

Ley de Coulomb: sean dos cargas inmóviles que interactúan en el vacío



$$\vec{F}_2 = K \frac{q_1 q_2}{R^2} \hat{r} = K \frac{q_1 q_2}{|\vec{r}_1 - \vec{r}_2|^3} (\vec{r}_2 - \vec{r}_1)$$

De su formulación se deduce:

- Cumple la 3ª ley de Newton (aparecerá una fuerza $\vec{F}_1 = -\vec{F}_2$) ($q_1 \vec{r}_1 - \vec{r}_2 = -(q_2 \vec{r}_2 - \vec{r}_1)$)
- Es central
- K es una cte. determinada por experimentos (a el S.I., $K = 8.98 \cdot 10^9 \frac{kg \cdot m^3}{s^2 C^2}$)
- Usualmente, K se redefine por $K = \frac{1}{4\pi\epsilon_0}$, con $\epsilon_0 = 8.854 \cdot 10^{-12} \frac{C^2}{N \cdot m^2}$

• Como $K \gg$, la fuerza es muy fuerte: - entre dos e^- , es $4 \cdot 10^{42}$ veces más fuerte que la gravitatoria.

- Para que entre dos cuerpos se cumpla $F_e = F_g$, debe ocurrir que $\frac{q}{m} \approx 8 \cdot 10^{-11} \text{ C/Kg}$. En el caso de la Tierra, sería $q \approx 10^{23} \text{ C}$, enorme.



- En interacciones entre cargas,
la fuerza gravitatoria no
suele jugar ningún papel

- La fuerza gravitatoria aparece
a gran escala, donde no suele
haber cargas libres

• Principio de superposición: el campo resultante de un sistema de cargas es la suma vectorial del campo creado por cada carga. Así:

$$\vec{E}_i = \lim_{q \rightarrow 0} \frac{1}{q} \vec{F}_i = \frac{1}{4\pi\epsilon_0} \frac{q_i}{R_i^2} \hat{u}_i = \vec{E}_i$$

El campo total creado por N cargas:

$$\vec{E}(\vec{r}) = \sum_{i=1}^N \vec{E}_i$$

$$\vec{E}(\vec{r}) = \frac{1}{4\pi\epsilon_0} \sum_{i=1}^N \frac{q_i}{R_i^2} \hat{u}_i$$

$$\vec{E}(\vec{r}) = \frac{1}{4\pi\epsilon_0} \sum_{i=1}^N \frac{q_i}{R_i^2} \hat{u}_i$$

Distribución volumétrica de carga: sea un volumen V con una densidad de carga $\rho(\vec{r})$.

Tomamos un elemento dV . Como puede ser tan pequeño como queramos, se cumplirá:

- ρ cte. en dV

- Sea una carga puntual de valor $dq = \rho(\vec{r}') dV$

$$\Downarrow$$

Creará un campo $d\vec{E} = \frac{1}{4\pi\epsilon_0} \frac{\rho(\vec{r}') dV}{R^2} \hat{n}$

Por el ppo. de superposición, el campo será la suma de todos los contribuciones de cada $d\vec{E} \Rightarrow$ una integral:

$$\vec{E}(\vec{r}) = \frac{1}{4\pi\epsilon_0} \int_V \frac{\rho(\vec{r}')}{R^2} \hat{n} dV$$

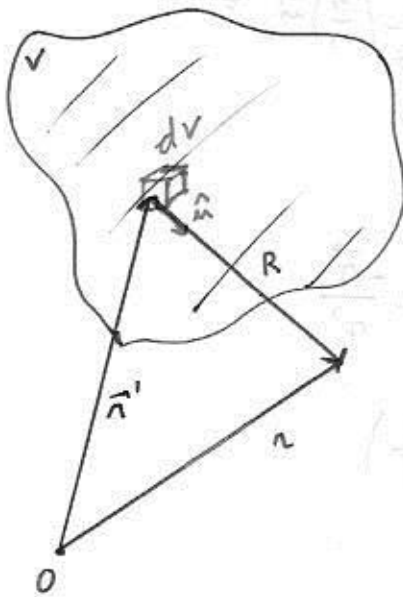
Ahora, como: • $\vec{R} = \vec{r} - \vec{r}'$

- $\hat{n} = \frac{\vec{R}}{R}$

$$\vec{E}(\vec{r}) = \frac{1}{4\pi\epsilon_0} \int_V \frac{\rho(\vec{r}')}{|\vec{r} - \vec{r}'|^3} (\vec{r} - \vec{r}') dV$$

Nota: • Se integra respecto de \vec{r}' (es la variable, varía variando V)

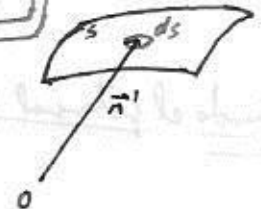
- \vec{r} es cte.



Análogamente:

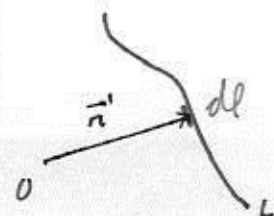
Distribución superficial de carga:

$$\vec{E}(\vec{r}) = \frac{1}{4\pi\epsilon_0} \int_S \frac{\sigma(\vec{r}')}{R^2} \hat{n} dS$$



Distribución lineal de carga:

$$\vec{E}(\vec{r}) = \frac{1}{4\pi\epsilon_0} \int_L \frac{\lambda(\vec{r}')}{R^2} \hat{n} dl$$



• En los integrales, siempre aparece:

$$\frac{1}{R^2} = \frac{1}{|\vec{r} - \vec{r}'|^2}$$

Ahora, calculamos $\vec{\nabla} \left(\frac{1}{r} \right)$ = $\frac{\partial}{\partial x} \left(\frac{1}{r} \right) \hat{a}_x + \frac{\partial}{\partial y} \left(\frac{1}{r} \right) \hat{a}_y + \frac{\partial}{\partial z} \left(\frac{1}{r} \right) \hat{a}_z =$

$-\frac{1}{r^2} \cdot \frac{x}{r} = -\frac{x}{r^3}$

$$= -\frac{x}{r^3} \hat{a}_x - \frac{y}{r^3} \hat{a}_y - \frac{z}{r^3} \hat{a}_z = -\frac{\vec{r}}{r^3}$$

Por tanto, $\frac{1}{|\vec{r} - \vec{r}'|^3} = -\vec{\nabla}_{\vec{r}} \left(\frac{1}{|\vec{r} - \vec{r}'|} \right) = -\vec{\nabla}_{\vec{r}} \left(\frac{1}{R} \right)$

Derivada
 con resp. a x, y, z
 No resp. a x', y', z'
 ↳ sistema
 como este.

Así: $\vec{E}(\vec{r}) = -\frac{1}{4\pi\epsilon_0} \int_V \rho(\vec{r}') \vec{\nabla}_{\vec{r}} \left(\frac{1}{R} \right) dV = -\vec{\nabla}_{\vec{r}} \left(\frac{1}{4\pi\epsilon_0} \int_V \frac{\rho(\vec{r}')}{R} dV \right)$

ρ no depende de $\vec{r} \Rightarrow r, \theta, \phi$
 $\vec{\nabla}$ es lineal
 \vec{r} y \vec{r}' son independientes
 ↳ variable de integración

$$\vec{\nabla}_{\vec{r}} \left[\int_V \rho(\vec{r}') \frac{1}{R} dV \right]$$

Es decir, podemos poner el campo \vec{E} como menos el gradiente de un campo escalar!!!

• Definiendo el potencial electrostático $\phi(\vec{r})$:

$$\phi(\vec{r}) = \frac{1}{4\pi\epsilon_0} \int_V \frac{\rho(\vec{r}')}{R} dV$$

$$\vec{E}(\vec{r}) = -\vec{\nabla} \phi(\vec{r})$$

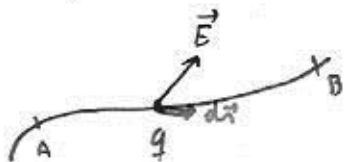
• De lo que se deduce:

$$\vec{\nabla} \times \vec{E} = \vec{\nabla} \times [-\vec{\nabla} \phi] = 0$$

\downarrow
 $\vec{\nabla} \times (\vec{\nabla} \phi) = 0 \quad \forall \phi$

$$\boxed{\vec{\nabla} \times \vec{E} = 0}$$

• Estudiamos el trabajo de la fuerza electrostática:



$$W = \int_A^B \vec{F}_e \cdot d\vec{r} = \int_A^B q \vec{E} \cdot d\vec{r} = -q \int_A^B \vec{\nabla} \phi \cdot d\vec{r} = -q \int_A^B dq =$$

$\vec{\nabla} \phi \cdot d\vec{r} = dq \quad \forall \phi$

$$= q [\phi(A) - \phi(B)] = W \Rightarrow \vec{E} \text{ es conservativo}$$

Así que la energía potencial es

$$\boxed{U = q \cdot \phi}$$

$$\boxed{[\phi] = \frac{J}{C} \equiv V \text{ (voltio)}}$$

Así, como $\vec{E} = -\vec{\nabla} \phi \Rightarrow [\vec{E}] = \frac{[\phi]}{[e]} = \frac{V}{m} = [\vec{E}]$

• Si tomamos el trabajo en una curva cerrada:

$$\phi(A) - \phi(B) = \int_A^B \vec{E} \cdot d\vec{r} \quad (\text{Una vuelta por } q)$$

Curva cerrada:

$$\oint_C \vec{E} \cdot d\vec{r} = \phi(A) - \phi(A) = 0$$

Es decir:

$$\boxed{\oint_C \vec{E} \cdot d\vec{r} = 0 \quad \forall \text{ curva cerrada}}$$

\Updownarrow (matemática)

$$\boxed{\vec{\nabla} \times \vec{E} = 0}$$

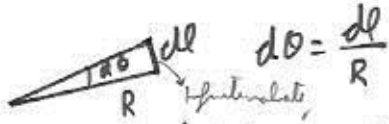
ÁNGULOS

2D:



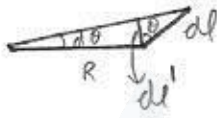
$$0 \leq \theta < 2\pi$$

Infinitesimalmente:



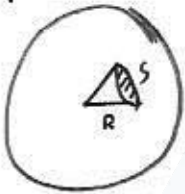
$$d\theta = \frac{dl}{R}$$

Y en cualquier curva:
la superficie es proporcional a su arco



$$d\theta = \frac{dl'}{R} = \frac{dl \cos \theta}{R}$$

3D:



El ángulo sólido nos da una idea de cuánto abarca el cono. Pero que sea adimensional y no dependa de la esfera:

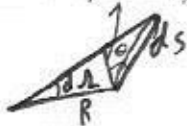
$$\Omega \equiv \frac{S}{R^2}$$

$$\Omega_{\min} = 0 \text{ (no abarca el cono)}$$

$$\Omega_{\max} = \frac{S_{\max}}{R^2} = \frac{4\pi R^2}{R^2} = 4\pi$$

Infinitesimalmente, con cualquier curva:

Infinitesimalmente, me expresamos en grados

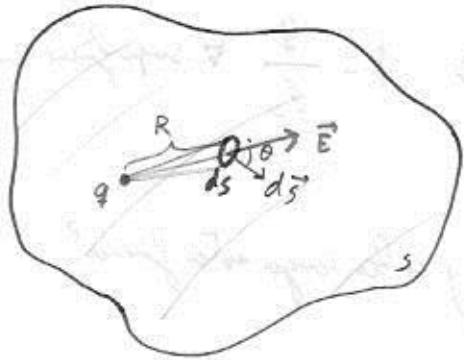


$$d\Omega = \frac{dA \cos \theta}{R^2}$$

TEOREMA DE

GAUSS

→ Sea una carga q encerrada en una superficie cerrada cualquiera:



- Nos fijaremos en el campo que sea la carga en todos los puntos de la superficie.
- Tomando un pequeño elemento de superficie $d\vec{S}$, ^{hacia fuera del volumen limitado} que cumple:

1 - $d\vec{S}$ es prácticamente plano

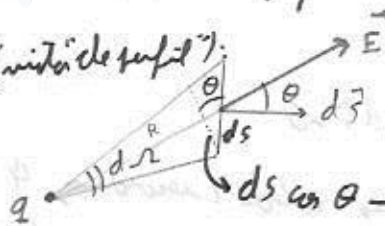
2 - \vec{E} es prácticamente cte. en los puntos de $d\vec{S}$

definimos el flujo elemental a través de $d\vec{S}$:

$$d\phi = \vec{E} \cdot d\vec{S} = \frac{1}{4\pi\epsilon_0} \frac{q \cos\theta}{R^2} dS$$

El flujo a través de toda la superficie se obtiene integrando.

• Antes, nos fijamos (mirada de perfil):



$dS \cos\theta \rightarrow$ un área plana \perp a R
 \Downarrow ^{infinitesimal}
Coincide con el área de una superficie esférica de radio R centrada en q

$\Leftrightarrow d\Omega \equiv \frac{\cos\theta dS}{R^2}$ será el ángulo sólido subtendido por dS

• Entonces, $d\phi = \frac{1}{4\pi\epsilon_0} q d\Omega \rightarrow$ Tanto el flujo dependiente de cuánto abarca el cos como también de dS

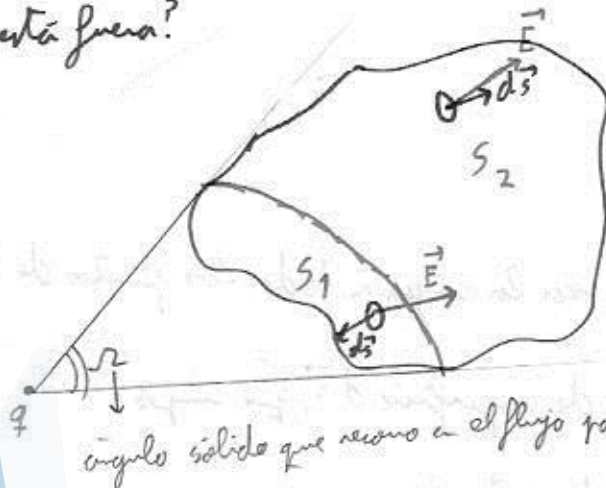
• Y el flujo total:

$$\Phi = \oint_S d\Phi = \frac{1}{4\pi\epsilon_0} q \oint_S d\Omega = \frac{q}{4\pi\epsilon_0} \int_0^{4\pi} d\Omega = \frac{q}{\epsilon_0}$$

Unidad de $d\Omega$ es sr , recorremos toda S
abarcamos

Es decir, $\Phi = \frac{q}{\epsilon_0} \forall$ superficies cerradas

- Ahora, ¿y si la carga está fuera?



ángulo sólido que vemos a el flujo para abarcar toda la superficie S

$$\Phi = \int_{S_1} \vec{E} \cdot d\vec{S} + \int_{S_2} \vec{E} \cdot d\vec{S}$$

Ahora, en S_1 el ángulo entre \vec{E} y $d\vec{S}$ es obtuso (\vec{E} entra a la superficie y $d\vec{S}$ sale) (En la frontera entre S_1 y S_2 $\vec{E} \perp d\vec{S}$)

\Downarrow
 $\vec{E} \cdot d\vec{S} < 0$

En S_2 el ángulo entre \vec{E} y $d\vec{S}$ es agudo $\Rightarrow \vec{E} \cdot d\vec{S} > 0$

Y como para S_1 y S_2 recorremos el mismo ángulo sólido (recordemos, Φ solo depende de ese ángulo)

$$\int_{S_1} \vec{E} \cdot d\vec{S} = - \int_{S_2} \vec{E} \cdot d\vec{S} \Rightarrow \Phi = 0$$

- Y por el pp. de superposición: $\vec{E} = \sum_i \vec{E}_i = \sum_{\text{fuera}} \vec{E}_i + \sum_{\text{dentro}} \vec{E}_i$

$$\Phi = \oint_S \vec{E} \cdot d\vec{S} = \oint_S \left(\sum_i \vec{E}_i \right) \cdot d\vec{S} = \oint_S \sum_i (\vec{E}_i \cdot d\vec{S}) = \sum_i \oint_S \vec{E}_i \cdot d\vec{S} = \sum_{\text{fuera}} \oint_S \vec{E}_i \cdot d\vec{S} + \sum_{\text{dentro}} \oint_S \vec{E}_i \cdot d\vec{S} = 0 + \sum_{\text{dentro}} \oint_S \vec{E}_i \cdot d\vec{S} =$$

$$\sum_{\text{dentro}} \frac{q_i}{\epsilon_0} \Rightarrow \boxed{\Phi = \frac{1}{\epsilon_0} \sum_{\text{dentro}} q_i \forall S \text{ cerrada}}$$

- Y, ¿en el caso de distribuciones continuas de carga?

$$\oint_S \vec{E} \cdot d\vec{s} = \frac{1}{\epsilon_0} Q_{\text{interior}}$$

Y si la superficie limita un volumen V , $Q_{\text{interior}} = \int_V \rho dV$ (si hay zonas vacías dentro de V , ahí $\rho=0$). Es decir:

$$\oint_S \vec{E} \cdot d\vec{s} = \frac{1}{\epsilon_0} \int_V \rho dV$$

Aplicando el tra. de la divergencia ($\oint_S \vec{A} \cdot d\vec{s} = \int_V \nabla \cdot \vec{A} dV \quad \forall \vec{A}, S, V$):

$$\oint_S \vec{E} \cdot d\vec{s} = \int_V (\nabla \cdot \vec{E}) dV = \int_V \frac{1}{\epsilon_0} \rho dV$$

Es decir, hemos obtenido:

$$\int_V (\nabla \cdot \vec{E}) dV = \int_V \frac{1}{\epsilon_0} \rho dV \quad \forall V$$

\Downarrow Si tomamos un volumen infinitesimal $\nabla \cdot \vec{E} = \frac{1}{\epsilon_0} \rho$

$$\boxed{\nabla \cdot \vec{E} = \frac{1}{\epsilon_0} \rho}$$

- Tenemos ya las ecuaciones fundamentales del campo electrostático:

$$\nabla \times \vec{E} = 0 \Leftrightarrow \oint_C \vec{E} \cdot d\vec{l} = 0$$

$$\nabla \cdot \vec{E} = \frac{1}{\epsilon_0} \rho \Leftrightarrow \oint_S \vec{E} \cdot d\vec{s} = \frac{1}{\epsilon_0} \int_V \rho dV$$

\downarrow
No dan info local sobre \vec{E} (a un punto y en entorno infinitesimal)

\downarrow
No dan info global sobre \vec{E} (la info en varias regiones), NO lo que se pueda \vec{E} a un punto concreto

CONDUCTORES

- Supongamos una región del espacio con un campo eléctrico \vec{E}' . Ahí, colocamos un material (supongamos \vec{E}' no tan intenso como para extraer las cargas del material), cuyos cargas se verán afectados por \vec{E}' .
 - Las cargas internas se moverán hasta alcanzar el estado de mínima energía (es equilibrio estable). Como resultado, dichas cargas crearán un campo \vec{E} que se sumará al exterior. Dependiendo de cómo sea \vec{E} clasificamos los materiales.
 - Así, definimos un conductor como una sustancia que contiene un gran número de portadores de carga que tienen la libertad de moverse por todo el conductor.
 - La situación de menor energía, la de equilibrio, requiere que las cargas estén inmóviles.
- $\vec{E} = 0 \Leftrightarrow \vec{E}' = 0$, ya que dichas cargas tienen absoluta libertad para moverse.

• Definir, conductor \Leftrightarrow portadores de carga libres $\Leftrightarrow \vec{E}_{int} = \vec{0}$ a equilibrio

$\Downarrow \vec{E} = -\nabla\phi$

$\phi = \text{cte. en todo el conductor}$
(incluye la frontera por continuidad de ϕ)

\Downarrow

La superficie es una superficie equipotencial

- Aplicando el teo. de Gauss $\Rightarrow \oint \vec{E} \cdot d\vec{A} = 0 \quad \forall \text{ superficie} \Rightarrow$ Toda la carga está en la superficie
 \hookrightarrow Recordar que es la suma

$$(\vec{E} = 0 \Rightarrow \nabla \cdot \vec{E} = 0 \Rightarrow \rho = 0)$$

• Por otra parte, como la superficie del conductor es equipotencial: $d\phi = 0$

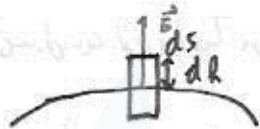
$$d\phi = \nabla\phi \cdot d\vec{r} = 0 \Rightarrow \vec{E} \cdot d\vec{r} = 0$$

↳ Tgto. a la superficie (el vector que nos da la superficie es, en el límite, Tgto.)

$$\boxed{\vec{E} \perp \text{a la superficie}}$$

Ahora, \vec{E} no tiene por qué ser 0 (ϕ fuera del conductor no tiene por qué ser cte., a priori)

- Calculamos \vec{E} aplicado Gauss a un cilindro infinitesimal:



En el límite: $dh \rightarrow 0 \Rightarrow \vec{E}$ a la tapa será \vec{E} a la superficie del conductor

$$\downarrow$$

$$\vec{E} \parallel d\vec{S} \text{ (a la tapa)}$$

$dS \rightarrow 0 \Rightarrow$ Obtendrás \vec{E} a un punto de la superficie (además, \vec{E} será tge. en la tapa)

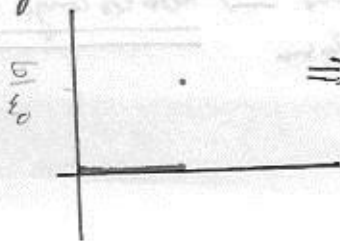
Ahora, el flujo a través del lateral es 0 (\vec{E} va perpendicular a la tapa):

$$\phi = E \cdot dS$$

La carga interior vale $\sigma \cdot dS \Rightarrow E \cdot dS = \frac{\sigma \cdot dS}{\epsilon_0}$

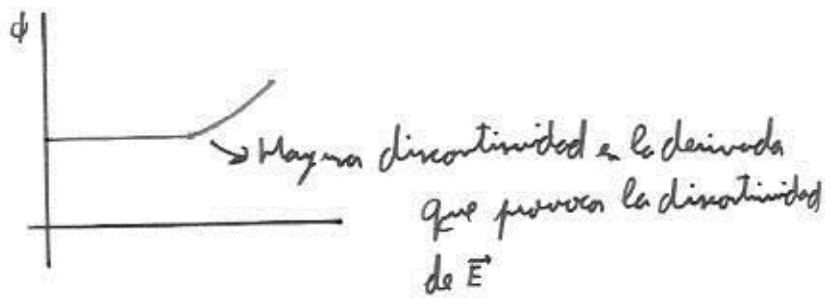
$$\boxed{E(\vec{n}) = \frac{\sigma(\vec{n})}{\epsilon_0}}$$

Y, si diluimos \vec{E} con respecto a la distancia al lado del conductor:



\Rightarrow Tenemos una discontinuidad de \vec{E} proporcional a σ !!!

Notar que esto no le ocurre a ϕ :



\vec{E} en cavidad

• Tomando superficies de Gauss (dibujos a Moodle) $\Rightarrow \oint \vec{E} \cdot d\vec{s} = 0 \forall S$

En el límite, ocurrirá lo mismo \Rightarrow Aunque a la superficie interior haya cargas, sus sumas 0

• Aplicando $\oint \vec{E} \cdot d\vec{s} = 0$ a curvas con parte en el interior de la cavidad (dibujos a Moodle)

\Downarrow (Explicación a Moodle)

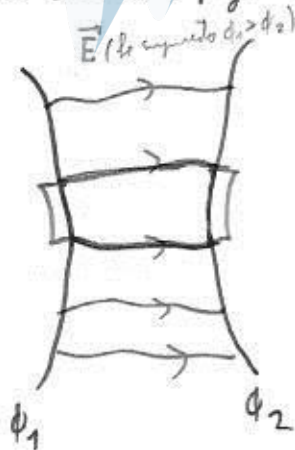
$$\int_A^B \vec{E} \cdot d\vec{s} = 0 \quad \forall \text{ trayectoria interior a la cavidad}$$

\Downarrow

$$\boxed{\vec{E} = 0 \text{ dentro de la cavidad}}$$

• Dos conductores

(dibujar sólo las superficies)



Tomando una superficie infinitesimal a cada conductor, ^{pero a poca el tubo dentro del conductor} ^{espacio de cilindro} puedo dibujar un cilindro infinitesimal con las líneas de campo // a la superficie de dicho cilindro (las líneas que van en 1 línea en 2 sólo casos muy extraños)

Aplicado Gauss:

$$\oint_S \vec{E} \cdot d\vec{s} = 0 \text{ por ser } \begin{cases} \vec{E} = 0 \text{ a las bases (interiores al conductor)} \\ \vec{E} \text{ tgle. a la superficie lateral (qto, recordes, es tgle a las líneas de campo)} \end{cases}$$

$$\oint \vec{E} \cdot d\vec{s} = 0 \Rightarrow \sigma_1 dS_1 + \sigma_2 dS_2 = 0 \Rightarrow \boxed{\sigma_1 dS_1 = -\sigma_2 dS_2}$$

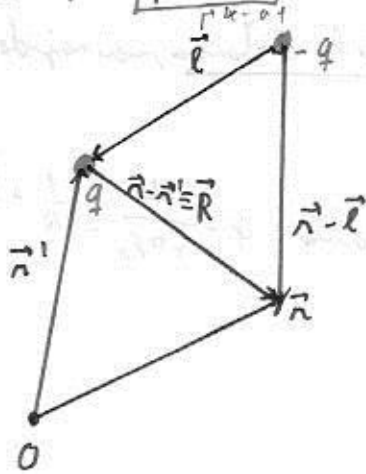
(Tra. de los elementos correspondientes)

DIPOLO ELÉCTRICO

Un dipolo es una distribución de dos cargas puntuales, siendo las cargas de igual la opuesta de la otra.

Generan ϕ y \vec{E} a todo el espacio.

Definimos el momento dipolar $\vec{p} \equiv q \vec{\ell}$ (indagado del S.R.)



$$\phi(r) = \frac{1}{4\pi\epsilon_0} \left(\frac{q}{|\vec{r} - \vec{r}' - \vec{\ell}|} - \frac{q}{|\vec{r} - \vec{r}'|} \right)$$

Supondremos que $\ell \ll R$ (cargas muy próximas o están muy lejos):

$$\Rightarrow \frac{1}{|\vec{r} - \vec{r}' - \vec{\ell}|} = \frac{1}{|\vec{R} - \vec{\ell}|} = \frac{1}{(\vec{R} - \vec{\ell}) \cdot (\vec{R} - \vec{\ell})} = \frac{1}{\sqrt{R^2 + \ell^2 - 2\vec{R} \cdot \vec{\ell}}} = \frac{1}{R} \cdot \frac{1}{\sqrt{1 + \left(\frac{\ell}{R}\right)^2 - \frac{2\vec{R} \cdot \vec{\ell}}{R^2}}}$$

$$= \frac{1}{R} \frac{1}{\sqrt{1 - \left(\frac{2\vec{R} \cdot \vec{\ell}}{R^2} - \frac{\ell^2}{R^2}\right)}} \quad \text{Ahora aproximamos:}$$

$$\frac{2\vec{R} \cdot \vec{\ell}}{R^2} \approx \frac{2\ell}{R^2} \quad (\text{sales cosen})$$

$$\downarrow$$

$$\frac{2\vec{R} \cdot \vec{\ell}}{R^2} - \frac{\ell^2}{R^2} \approx \frac{2\vec{R} \cdot \vec{\ell}}{R^2} \rightarrow \text{MUY PEQUEÑO}$$

↓
Desarrollamos a serie

$$\frac{1}{\sqrt{1-x}} \text{ y como } x \text{ es pequeño}$$

nos quedamos con los 1^{er}os

$$\frac{1}{R} \cdot \frac{1}{\sqrt{1 - \left(\frac{2\vec{R} \cdot \vec{\ell}}{R^2} - \frac{\ell^2}{R^2}\right)}} \approx \frac{1}{R} \left[1 + \frac{1}{2} \left(\frac{2\vec{R} \cdot \vec{\ell}}{R^2} - \frac{\ell^2}{R^2} \right) \right] \approx$$

$$\approx \frac{1}{R} \left[1 + \frac{\vec{R} \cdot \vec{\ell}}{R^2} \right]$$

$$\text{Ans, } \phi = \frac{q}{4\pi\epsilon_0} \left[\frac{1}{|\vec{R}-\vec{p}|} - \frac{1}{|\vec{R}|} \right] \approx \frac{q}{4\pi\epsilon_0} \left[\frac{1}{R} + \frac{\vec{R}\cdot\vec{p}}{R^3} - \frac{1}{R} \right] = \frac{1}{4\pi\epsilon_0} \frac{q\vec{R}\cdot\vec{p}}{R^3} = \frac{\vec{p}\cdot\vec{R}}{4\pi\epsilon_0 R^3}$$

$$\phi(\vec{R}) \approx \frac{1}{4\pi\epsilon_0} \frac{\vec{p}\cdot\vec{R}}{R^3}$$

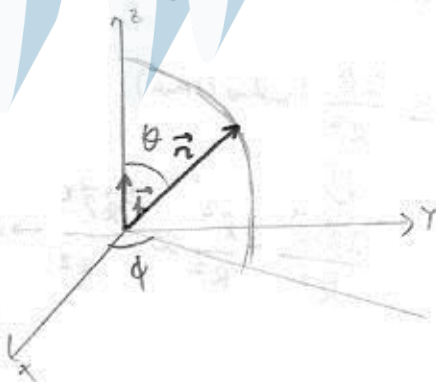
Tenemos un potencial que decrece con el cuadrado de la distancia, más rápido que el de una carga puntual.

• Nótese que si los dos cargas fueran positivas, quedarías: $\phi = \frac{q}{4\pi\epsilon_0} \left[\frac{1}{R} + \frac{\vec{R}\cdot\vec{p}}{R^3} + \frac{1}{R} \right] =$

$$= \frac{2q}{4\pi\epsilon_0} \cdot \frac{1}{R} + \frac{\vec{R}\cdot\vec{p}}{4\pi\epsilon_0 R^2} + O\left(\frac{p^2}{R^3}\right)$$

Por distancia grande, esto es despreciable y nos queda una carga puntual $2q$

• Vayamos ahora con $\vec{E} = -\vec{\nabla}\phi = -\left(\frac{\partial\phi}{\partial x}\hat{n}_x + \frac{\partial\phi}{\partial y}\hat{n}_y + \frac{\partial\phi}{\partial z}\hat{n}_z\right)$. Ahora, estas derivadas son complicadas. Estudiamos primero un caso simple: carga a el dipolo, orientado según el eje z :



(En realidad, estamos tomando $\vec{R}\cdot\vec{p}$ a modo de \vec{R} , pero es que \vec{p} es muy pequeño y despreciable)

$$\phi = \frac{1}{4\pi\epsilon_0} \frac{\vec{p}\cdot\vec{r}}{r^3} = \frac{1}{4\pi\epsilon_0} \frac{p r \cos\theta}{r^3} = \frac{1}{4\pi\epsilon_0} \frac{p \cos\theta}{r^2}$$

Y en coordenadas esféricas, el gradiente es:

$$\vec{E} = -\vec{\nabla}\phi = \left(-\frac{\partial\phi}{\partial r}\right)\hat{n}_r + \left(-\frac{1}{r}\frac{\partial\phi}{\partial\theta}\right)\hat{n}_\theta + \left(-\frac{1}{r\sin\theta}\frac{\partial\phi}{\partial\phi}\right)\hat{n}_\phi =$$

$$= \frac{1}{4\pi\epsilon_0} \left(\frac{2p\cos\theta}{r^3}\hat{n}_r + \frac{p\sin\theta}{r^3}\hat{n}_\theta \right) = \vec{E}$$

En cualquier otro S.R. (con el dipolo a lo largo)

$$\vec{E} = \frac{1}{4\pi\epsilon_0} \left[\frac{3\vec{n}\cdot\vec{p}}{r^3} \vec{n} - \frac{1}{r^3} \vec{p} \right]$$

DIPOLO EN \vec{E} EXTERNO

Sea un dipolo en un campo \vec{E}_{ext} que sea un potencial ϕ_{ext} . Ahí, su energía potencial vale:

$$U = -q\phi_{ext}(\vec{r}) + q\phi_{ext}(\vec{r} + \vec{\ell})$$

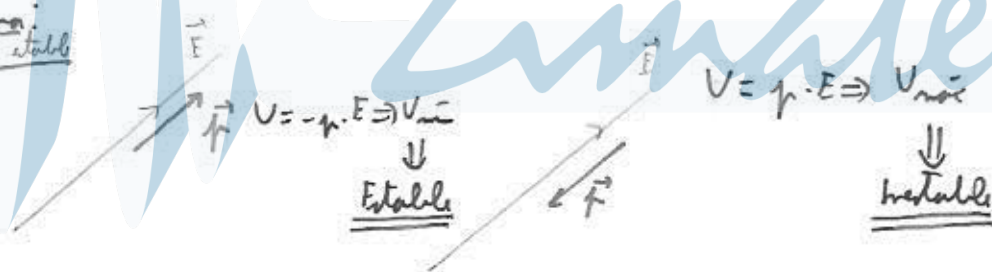
que sería 0 si $\phi_{ext}(\vec{r}) = \phi_{ext}(\vec{r} + \vec{\ell})$

Ahora, desarrollamos $\phi_{ext}(\vec{r} + \vec{\ell})$ en serie de Taylor alrededor de \vec{r} (como $\ell \ll r$, despreciamos términos cuadráticos):

$$U \approx -q\phi_{ext}(\vec{r}) + q \left[\phi_{ext}(\vec{r}) + \vec{\nabla}\phi_{ext} \cdot \vec{\ell} \right] = q \vec{\nabla}\phi_{ext} \cdot \vec{\ell} = \boxed{-\vec{p} \cdot \vec{E}_{ext}(\vec{r}) = U}$$

Y si el dipolo puede girar, se orientará de modo que la energía potencial sea

(máxima 0) mínima
o máx. estable máx. estable



Y respecto a la fuerza:

$$F_x = -q E_{ext,x}(\vec{r}) + q E_{ext,x}(\vec{r} + \vec{\ell}) \approx -q E_{ext,x}(\vec{r}) + q \left[E_{ext,x}(\vec{r}) + \vec{\nabla} E_{ext,x} \cdot \vec{\ell} \right] =$$

$$= q \vec{\nabla} E_{ext,x} \cdot \vec{\ell} = p_x \frac{\partial E_{ext,x}}{\partial x} + p_y \frac{\partial E_{ext,x}}{\partial y} + p_z \frac{\partial E_{ext,x}}{\partial z}$$

Haciendo lo mismo con cada componente: $\vec{F} = p_x \frac{\partial}{\partial x} (E_{ext,x} \hat{x} + E_{ext,y} \hat{y} + E_{ext,z} \hat{z}) + \dots$

$$\boxed{\vec{F} = (\vec{p} \cdot \vec{\nabla}) \vec{E}_{ext}}$$

Y con el momento (ver en Moodle):

$$\boxed{\vec{M} = \vec{r} \times \vec{F} + \vec{p} \times \vec{E}_{ext}(\vec{r} + \vec{\ell})}$$

DESARROLLO MULTIPOLAR

Sea una distribución arbitraria de carga encerrada en una esfera de radio a . Queremos ϕ y \vec{E} en $r \gg a$. Esto nos permitirá, considerando \vec{E} muy lejos de la distribución de cargas, obtener dicha distribución.

(Dilujos a Moodle)

$$\phi(\vec{r}) = \frac{1}{4\pi\epsilon_0} \int_V \frac{\rho(\vec{r}')}{R} dV'$$

$R = \sqrt{r^2 + r'^2 - 2\vec{r} \cdot \vec{r}'}$. Desarrollando a series de Taylor:

$$\frac{1}{R} = \frac{1}{\sqrt{r^2 + r'^2 - 2\vec{r} \cdot \vec{r}'}} = \frac{1}{r} \cdot \frac{1}{\sqrt{1 + \left(\frac{r'^2 - 2\vec{r} \cdot \vec{r}'}{r^2}\right)}}$$

Así, desarrollando y despreciando $\left(\frac{r'}{r}\right)^3$ y potencias superiores (Moodle) queda:

$$\frac{1}{R} \approx \frac{1}{r} \left[1 + \frac{\vec{r} \cdot \vec{r}'}{r^2} + \frac{1}{2} \left(\frac{3(\vec{r} \cdot \vec{r}')^2}{r^4} - \frac{r'^2}{r^2} \right) \right] + \dots$$

Haciendo integral de suma = suma de integrales:

$$\phi(\vec{r}) \approx \phi_0(\vec{r}) + \phi_1(\vec{r}) + \phi_2(\vec{r}) + \dots$$

\downarrow \downarrow \downarrow
 orde $\propto \frac{1}{r}$ orde $\propto \frac{1}{r^2}$ orde $\propto \frac{1}{r^3}$

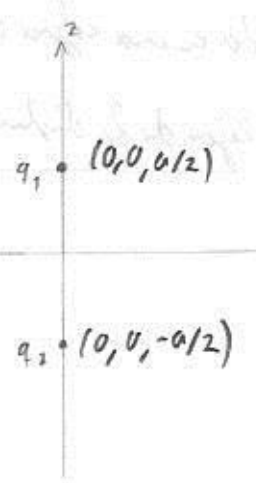
$\phi_0(\vec{r}) = \frac{1}{4\pi\epsilon_0} \cdot \frac{1}{r} \int_V \rho(\vec{r}') dV'$ \rightarrow Va como $\frac{1}{r}$ \rightarrow Término monopolar (= carga puntual)

$\phi_1(\vec{r}) = \frac{1}{4\pi\epsilon_0} \cdot \frac{1}{r^3} \vec{r} \cdot \int_V \vec{r}' \rho(\vec{r}') dV'$ \rightarrow Va como $\frac{1}{r^2}$ \rightarrow Término dipolar (va como un dipolo)

$\phi_2(\vec{r}) = \frac{1}{4\pi\epsilon_0} \int_V \frac{1}{2} \left[\frac{3(\vec{r} \cdot \vec{r}')^2}{r^5} - \frac{r'^2}{r^3} \right] dV'$ \rightarrow Va como $\frac{1}{r^3}$ \rightarrow Término cuadrupolar

Nota: Hemos ampliado la def. de $\vec{r} \equiv \int_V \vec{r}' \rho(\vec{r}') dV'$; a part. puntuales $\sum_i \vec{r}_i q_i$

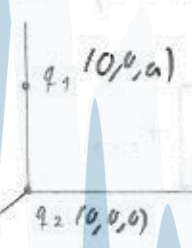
P.g., imponemos dos cargas:



$$\vec{r} = \vec{r}_1 q_1 + \vec{r}_2 q_2$$

$$r_z = \frac{a}{2} q_1 - \frac{a}{2} q_2 = \begin{cases} 0 & \text{si } q_1 = q_2 \\ aq & \text{si } q_1 = -q_2 = q \text{ (caso ya resuelto)} \end{cases}$$

Y si imponemos el S.R.:



$$r_z = a q_1 \Rightarrow \text{En general, } \vec{r} \text{ depende del S.R.}$$

(En este caso, no cambia si $q_1 = -q_2$)

• En lo que se refiere al momento cuadrupolar, no gustaría sacar \vec{r} fuera de la integral (integral que sólo depende del objeto):

Notación: $x_i = \begin{cases} x & \text{si } i=1 \\ y & \text{si } i=2 \\ z & \text{si } i=3 \end{cases}$

$$\frac{1}{2} \left[\frac{3(\vec{r} \cdot \vec{r})^2}{r^5} - \frac{r^2}{r^3} \right] = \frac{1}{2r^5} \left[3 \left(\sum_{i=1}^3 x_i x_i' \right) \left(\sum_{j=1}^3 x_j x_j' \right) - \underbrace{\left(\sum_{i=1}^3 x_i x_i' \right)^2}_{r^2 = \vec{r} \cdot \vec{r}} \right] =$$

$$= \frac{1}{2r^5} \left[3 \sum_{i,j} x_i x_j x_i' x_j' - r^2 \sum_{i,j} x_i x_j \delta_{ij} \right] = \frac{1}{2r^5} \sum_{i,j} x_i x_j (3x_i' x_j' - \delta_{ij} r^2)$$

↳ también $\sum_i x_i x_i'$ de otra manera
 (Recuerda que $\delta_{ij} = \begin{cases} 1 & \text{si } i=j \\ 0 & \text{si } i \neq j \end{cases}$)

Tan tardo separados \vec{r} y \vec{r}' !!!

Substituyendo:

$$\phi_2(\vec{r}) = \frac{1}{4\pi\epsilon_0} \sum_{i,j} \frac{1}{2} \frac{x_i x_j}{r^3} Q_{ij}$$

Con Q_{ij} una matriz que cumple:

$$Q_{ij} = \int_V (3x'_i x'_j - \delta_{ij} r'^2) \rho(\vec{r}') dV'$$

Q_{ij} cumple:

• Es simétrica ($Q_{ij} = Q_{ji}$)

• Su traza ($Q_{xx} + Q_{yy} + Q_{zz}$) vale 0

$$Q_{xx} + Q_{yy} + Q_{zz} = \int_V (3x'^2 - r'^2) \rho(\vec{r}') dV' + \int_V (3y'^2 - r'^2) \rho(\vec{r}') dV' + \int_V (3z'^2 - r'^2) \rho(\vec{r}') dV'$$

$$= \int_V (3x'^2 - r'^2 + 3y'^2 - r'^2 + 3z'^2 - r'^2) \rho(\vec{r}') dV' = \int_V \underbrace{(3(x'^2 + y'^2 + z'^2) - 3r'^2)}_0 \rho(\vec{r}') dV' = 0$$

• Pero, ¿qué ocurre al cambiar de S.R.? Cambiamos a un origen de coordenadas O' (distorsión los vectores ahí por \vec{r}''):

$$\vec{r}' = \int_V \vec{r}'' \rho dV' = \int_V (\vec{r}'' + \vec{0}'\vec{0}) \rho dV' = \int_V \vec{r}'' \rho dV' + \vec{0}'\vec{0} \underbrace{\int_V \rho dV'}_Q$$

$$\vec{r}' = \vec{r} + \vec{0}'\vec{0} Q$$

Aún, $\vec{r}' = \vec{r} \Leftrightarrow Q = 0$

- Se demuestra que, si la carga total y el momento dipolar son 0, el momento cuadrupolar no depende de la elección de origen de coordenadas.

ECUACIONES DE CAMPO

→ las ecuaciones que definen el campo electrostático son:

$$\boxed{\begin{aligned}\vec{\nabla} \times \vec{E} &= 0 \\ \vec{\nabla} \cdot \vec{E} &= \frac{\rho}{\epsilon_0}\end{aligned}}$$

→ Ahora, $\vec{\nabla} \times \vec{E} = 0 \Rightarrow \exists$ función escalar ϕ tal $\vec{E} = -\vec{\nabla} \phi$. Llevándolo a la segunda ecuación:

$$\vec{\nabla} \cdot (-\vec{\nabla} \phi) = \frac{\rho}{\epsilon_0}$$

$$\boxed{\nabla^2 \phi = -\frac{\rho}{\epsilon_0}}$$

(Ecuación $\frac{\partial^2 \phi}{\partial x^2} + \frac{\partial^2 \phi}{\partial y^2} + \frac{\partial^2 \phi}{\partial z^2} = -\frac{\rho}{\epsilon_0}$)

• An: ϵ_0

Si en un punto hay carga: $\nabla^2 \phi = -\frac{\rho}{\epsilon_0}$ Ec. de Poisson

Si no hay carga: $\nabla^2 \phi = 0$ Ec. de Laplace

• Esta ecuación diferencial tiene solución única dentro de una superficie cerrada cuando

se dan las condiciones de contorno: ϕ a toda la superficie.

↳ condiciones de Dirichlet

• Si a la superficie doy $\frac{d\phi}{ds}$ a la dirección perpendicular a la superficie (la componente normal del campo eléctrico),

↳ condiciones de Neuman

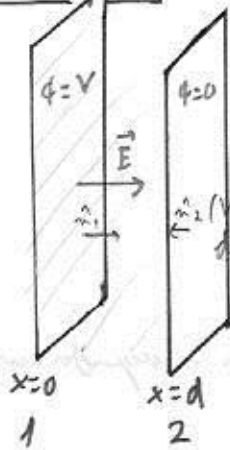
tl. $\exists!$ solución.

(En los problemas que hacemos con distribuciones fijas, están supuestos $\phi_{\infty} = 0$ (hacia la superficie al infinito))



EJEMPLOS DE APLICACIÓN

Condensador plano:



Dos planos conductores infinitos (orden, $d \ll \ll \sqrt{A}$)

\Downarrow Vcte. a todo el plano \rightarrow ya tengo los cond. de contorno

Valor / Resolvemos la ec. de Laplace entre los dos planos (pq. $\rho = 0$)

$$\nabla^2 \phi = \frac{\partial^2 \phi}{\partial x^2} + \frac{\partial^2 \phi}{\partial y^2} + \frac{\partial^2 \phi}{\partial z^2} = 0$$

\Downarrow Suprimimos el plano z en volu. por los ejes cargados en los del plano

para todo z, y , el punto es el mismo

$$\phi = \phi(x)$$

\Downarrow Ecuación EDO

$$\frac{d^2 \phi}{dx^2} = 0$$

(...)

$$\phi(x) = c_1 + c_2 \cdot x$$

$(c_1 \text{ y } c_2 \text{ se obtienen imponiendo los cond. de contorno})$

$$\begin{cases} \phi(d) = 0 \\ \phi(0) = V \end{cases}$$

$$\phi(x) = V \left[1 - \frac{x}{d} \right]$$

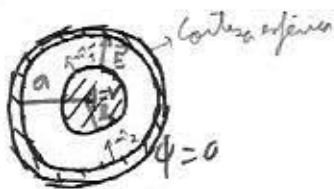
Y derivado: $\vec{E} = -\vec{\nabla} \phi \Rightarrow \vec{E} = \frac{V}{d} \hat{n}_x$

Y como en un conductor $\vec{E} = \frac{\sigma}{\epsilon_0} \hat{n}$, puedo obtener σ de las cargas!!

$$\sigma_1 = \frac{\epsilon_0 V}{d}$$

$$\sigma_2 = \frac{-\epsilon_0 V}{d} = -\sigma_1 \quad (\text{MUCHO OJO!!})$$

Dos esferas conductoras:



Por la simetría del problema, $\phi = \phi(r)$

$$\nabla^2 \phi = \frac{1}{r^2} \frac{d}{dr} \left(r^2 \frac{d\phi}{dr} \right) = 0$$

En las esferas $\rho = 0$

$$r^2 \frac{d\phi}{dr} = C_1$$

$$\phi(r) = -\frac{C_1}{r} + C_2$$

Y con las cond. de contorno:

$$\phi(r) = \frac{b \cdot V}{a - b} \left(\frac{a}{r} - 1 \right)$$

Tomando el gradiente:

$$\vec{E}(r) = \frac{b \cdot V}{a - b} \frac{a}{r^2} \hat{r}_1$$

Y de la misma manera:

$$\sigma_b = \epsilon_0 E(b) = \frac{a}{b} \frac{V}{a - b} \cdot \epsilon_0 = \sigma_b$$

$$\sigma_a = -\epsilon_0 E(a) = -\frac{b}{a} \frac{V}{a - b} \epsilon_0 = \sigma_a$$

(Usando Gauss (a Moodle) de lo mismo)

Dos cilindros conductoras

Hecho en Moodle

SISTEMAS DE CONDUCTORES

Ya que los conductores son superficies equipotenciales, veamos si nos pueden ayudar a resolver las condiciones de contorno de la eq. de Laplace.

- Queremos: - Carga en cada conductor
- Resolver la ecuación de Laplace fuera de los conductores (dicho ya lo sabemos) ↓
difer.

Supondré 3 conductores (fácilmente generalizable a n).

• Nos basamos a:

① $\nabla^2 \phi = 0 \Rightarrow$ Resoluble a principios (aunque difícil) \Rightarrow sabemos $\vec{E} \Rightarrow$ sabemos σ (con $\rho = 0$)
 \Rightarrow LINEAL

② $\sigma_i = \epsilon_0 E_{n,i} ; (Q_i = \int_{S_i} \epsilon_0 E_{n,i} dS_i)$

- Ya que el problema de arriba no lo se resolver, no plantearé otros tres problemas:

- 1- $\phi_1 = \phi_1; \phi_2 = 0; \phi_3 = 0$. Sea $\phi^{(1)}$ la solución, con $\begin{matrix} Q_1^{(1)} \\ Q_2^{(1)} \\ Q_3^{(1)} \end{matrix}$
- 2- $\phi_1 = 0; \phi_2 = \phi_2; \phi_3 = 0$. Sea $\phi^{(2)}$ la solución, con $\begin{matrix} Q_1^{(2)} \\ Q_2^{(2)} \\ Q_3^{(2)} \end{matrix}$
- 3- $\phi_1 = 0; \phi_2 = 0; \phi_3 = \phi_3$. Sea $\phi^{(3)}$ la solución, con $\begin{matrix} Q_1^{(3)} \\ Q_2^{(3)} \\ Q_3^{(3)} \end{matrix}$

Ahora, como la ecuación de Laplace es lineal, $\phi^{(1)} + \phi^{(2)} + \phi^{(3)} = \phi$ es th. solución. Además,

ϕ cumple las condiciones de contorno \Rightarrow ϕ será solución de nuestro problema!!
↓
 continuidad de solución

$$\vec{E} = -\vec{\nabla} \phi = -(\vec{\nabla} \phi^{(1)} + \vec{\nabla} \phi^{(2)} + \vec{\nabla} \phi^{(3)}) = \vec{E}^{(1)} + \vec{E}^{(2)} + \vec{E}^{(3)}$$

$\hookrightarrow \nabla$ es lineal

Y como $Q \propto \vec{E} \Rightarrow$

$$Q_1 = Q_1^{(1)} + Q_1^{(2)} + Q_1^{(3)}$$

$$Q_2 = Q_2^{(1)} + Q_2^{(2)} + Q_2^{(3)}$$

$$Q_3 = Q_3^{(1)} + Q_3^{(2)} + Q_3^{(3)}$$

$$Q_i = \int_{S_i} \epsilon_0 E_{n,i} dS_i = \int_{S_i} \epsilon_0 (E_{n,i}^{(1)} + E_{n,i}^{(2)} + E_{n,i}^{(3)}) dS_i =$$

Los vectores $E_{n,i}$ son paralelos \Rightarrow Método de imágenes
 mejor sus de imágenes

$$= \int_{S_i} \epsilon_0 E_{n,i}^{(1)} dS_i + \int_{S_i} \epsilon_0 E_{n,i}^{(2)} dS_i + \int_{S_i} \epsilon_0 E_{n,i}^{(3)} dS_i$$

$\begin{matrix} Q_i^{(1)} \\ Q_i^{(2)} \\ Q_i^{(3)} \end{matrix}$

Invertiendo la matriz:

$$\phi_i = \sum_{j=1}^n P_{ij} Q_j$$

Coefficiente de potencial

CONDENSADOR

• Son dos conductores que pueden almacenar cargas iguales y opuestas. Aplicando lo visto ahora:

$$\phi_1 = P_{11} Q_1 + P_{12} Q_2 \stackrel{\downarrow}{=} (P_{11} - P_{12}) Q$$

$Q_2 = -Q_1$

$$\phi_2 = P_{21} Q_1 + P_{22} Q_2 = (P_{21} - P_{22}) Q$$

$$\Delta \phi = \phi_1 - \phi_2 = (P_{11} + P_{22} - 2P_{12}) Q \stackrel{\downarrow}{=} \frac{Q}{C} = \Delta \phi$$

$$P_{11} + P_{22} - 2P_{12} \equiv \frac{1}{C}$$

↪ ≠ 0 y q. Permittiv (cuando es ϵ)

Así, definimos la capacidad de un condensador:

$$C \equiv \frac{1}{P_{11} + P_{22} - 2P_{12}}$$

que solo dependerá de magnitudes geométricas del condensador